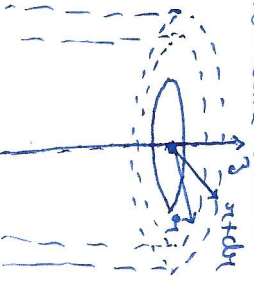


Preuve d'un bilan au feu à micro-onde

Q1- Le bilan est sphérique, et appliqué uniquement pour mesurer les effets de bord liés aux extrémités du bilbon.

- Répartition de la température dans le lait : $T_E(r,t)$: le lait est chauffé uniformément par les micro-onde.

Un bilan d'énergie appliqué à un volume élémentaire $d\tau$ de lait donne : (1) $dU = \delta Q = \phi(r,t)dt + \phi(r+dr)dt + \beta dr$ pendant l'intervalle de temps dt , pour un volume élémentaire $d\tau$ de lait.



Or :
$$dU = U(r,t+dt) - U(r,t) = \rho \cdot g \frac{\partial T}{\partial t} d\tau dt.$$

avec $dU = C_p dt$ pour une phase condensée, et $U = \rho \cdot d\tau \cdot u$ (ρ : masse volumique du système).

Alors : (1) $\Rightarrow \rho g \cdot \frac{\partial T}{\partial t} = \mathcal{P} + \lambda \cdot \frac{1}{r} \frac{\partial}{\partial r} \left(r \frac{\partial T}{\partial r} \right)$

$$\frac{\partial T}{\partial t} = \frac{\lambda}{\rho g} \cdot \frac{1}{r} \frac{\partial}{\partial r} \left(r \frac{\partial T}{\partial r} \right) + \frac{\mathcal{P}}{\rho g} \quad (2)$$

avec λ : conductivité thermique du lait, ρg : masse volumique du lait.

Le verre n'absorbe pas d'énergie électromagnétique parce que les micro-onde. Un élément $d\tau$ du verre est donc soumis à un gradient de température entre le lait de température $T_E(r,t)$, et l'extérieur du bilbon de température T_V .

On retrouve donc le cas de cours d'un système con- bitus d'une portion de milieux (verre) compris entre deux cylindres coaxiaux de rayons r_1 et r_2 . Les bilans thermique et spatial donnent ainsi l'équation de la diffusion pour la température du verre, notée $T_V(r,t)$:

$$\frac{\partial T_V(r,t)}{\partial t} = \frac{\lambda_V}{\rho_V r} \cdot \frac{1}{r} \frac{\partial}{\partial r} \left(r \frac{\partial T_V}{\partial r} \right) \quad (3)$$

Q2- En régime permanent, l'équation (3) devient :

$$\frac{1}{r} \cdot \frac{\partial}{\partial r} \left(r \frac{\partial T_V}{\partial r} \right) = 0.$$

$$\Rightarrow r \cdot \frac{dT_V}{dr} = A \quad A : \text{constante réelle}$$

$$\Rightarrow T_V(r) = A \ln(r) + B \quad B : \text{constante réelle}$$

Par ailleurs, l'équation (2) donne :

$$+\frac{1}{r} \frac{d}{dr} \left(r \frac{dT_e}{dr} \right) = -\frac{\mathcal{P}}{\lambda_e}$$

$$\Rightarrow T_e(r) = -\frac{\mathcal{P}}{4\lambda_e} r^2 + C \ln(r) + D \quad \text{pour } r \in [0, r_2]$$

avec C et D des constantes réelles.

La température ne peut cependant pas diverger pour $r=0$, donc

$$\boxed{C = 0}$$

Ainsi :

$$T_e(r) = -\frac{\mathcal{P}}{4\lambda_e} r^2 + D.$$

• Selon la conservation du flux thermique en $r=r_1$:

$$\left. \begin{aligned} \Phi_e(r_1) &= -\lambda_e \frac{dT_e}{dr}(r=r_1) \times S = \frac{\mathcal{P}}{2} r_1 \cdot S \\ \Phi_v(r_1) &= -\lambda_v \cdot \frac{dT_v}{dr}(r=r_1) \times S = -\lambda_v \cdot \frac{A}{r_1} \cdot S \end{aligned} \right\}$$

avec S la surface latérale de contact entre le lait et la verre.

Donc :

$$\Rightarrow \frac{\mathcal{P}}{2} r_1 = -\lambda_v \frac{A}{r_1}$$

$$\Leftrightarrow \boxed{A = -\frac{\mathcal{P}}{2\lambda_v} r_1^2}$$

Ainsi :

$$T_v(r) = -\frac{\mathcal{P}}{2\lambda_v} r^2 \ln(r) + B.$$

Par ailleurs : $T_v(r_2) = T_S$, donc :

$$\boxed{B = T_S + \frac{\mathcal{P}}{2\lambda_v} r_2^2 \ln(r_2)}$$

Finalement, la température dans la diffusion est, en régime permanent :

$$\boxed{T_v(r) = T_S + \frac{\mathcal{P}}{2\lambda_v} r_2^2 \ln\left(\frac{r_2}{r}\right)}$$

Q3 - Pour $r=r_2$:

$$T_v(r_2) = T_S + \frac{\mathcal{P}}{2\lambda_v} r_2^2 \ln\left(\frac{r_2}{r_2}\right)$$

$$\Leftrightarrow \boxed{T_v(r_2) < T_S} \quad \text{car } r_2 > r_1.$$

Ainsi la température du verre sur la surface extérieure du ballon est inférieure à celle de la surface intérieure donc inférieure à celle du lait. Il faut toujours vérifier la température du lait avant de le donner au bébé (soit en goûtant, soit en appréciant sur sa propre peau) et ne pas se fier à la température perçue en main devant le ballon !

Phénomènes de Poisson simplifiés

Dis 1

1 - La loi de Fourier donne la relation entre le vecteur densité de courant thermique \vec{j}_{th} et le gradient de la température dans son système donné :

$$\vec{j}_{th} = -\lambda \vec{\nabla} T$$

avec λ : conductivité thermique.

2 - Cette loi permet de décrire le phénomène de diffusion thermique : un flux thermique partant d'une portion du système de température élevée, et se dirigeant vers les températures les plus faibles, s'observe dans un milieu soumis à une diffusion de $T \ll T_c$.

3 - R s'exprime en $wt. m^{-2} K^{-1}$.

4 - En régime stationnaire, l'équation de diffusion à une dimension s'écrit :

$$\frac{\lambda}{\rho c_v} \frac{d^2 T(x)}{dx^2} + \frac{P_0}{\rho c_v} = 0 \Rightarrow \lambda \frac{d^2 T(x)}{dx^2} + P_0 = 0$$

où P_0 est un terme de puissance volumique de source. Or, ici, le terme P_0 fait référence à la puissance produite par flux conducto-convection au sein de l'ailette :

$$dP = h (T(x) - T_a) dS = 2R h_a (T(x) - T_a) dx$$

Ainsi :

$$\frac{dP}{2a dx} = h (T(x) - T_a)$$

et $P_0 = - \frac{dP}{ax dx}$ avec $ax dx = dx$, volume élémentaire de l'ailette dont la surface latérale de flux.

$$P_0 = - \frac{2R}{e} (T(x) - T_a)$$

$$\Delta'_{ici} : \frac{d^2 T(x)}{dx^2} - \frac{2R}{e\lambda} (T(x) - T_a) = 0$$

$$\text{On pose : } \frac{e\lambda}{2R} = L^2 \Leftrightarrow L = \sqrt{\frac{e\lambda}{2R}} \Rightarrow L \approx 3,7 \text{ cm}$$

$$\frac{d^2 T(x)}{dx^2} - \frac{T(x) - T_a}{L^2} = 0$$

Autre méthode :

1^{er} principe appliqué à la bande d'épaisseur dx entre x et $x+dx$. La bande se comporte algébriquement, à l'instinct x :

$$dU = \delta Q = \int_{th}(x) * ea - \int_{th}(x+dx) ea = dP dx$$

$$\Delta'_{ici} : - \frac{dj_{th}}{dx} e a dx - dP = 0$$

et avec la loi de Fourier : $j_{th} = -\lambda \frac{dT(x)}{dx}$, se vient :

$$\lambda \frac{d^2 T(x)}{dx^2} e a dx - dP = 0$$

$$\Leftrightarrow \frac{\lambda}{2a} \frac{d^2 T(x)}{dx^2} e a dx - h (T(x) - T_a) * a dx = 0$$

$$\Leftrightarrow \frac{d^2 T(x)}{dx^2} - \frac{2R}{\lambda e} (T(x) - T_a) = 0$$

5- $L = \sqrt{\frac{2\lambda}{2R}}$; A.N.: $L \approx 3,7 \times 10^{-2} \text{ m} = 3,7 \text{ cm}$. Diss 2

6- Sur deux conditions aux limites sont données pour $\alpha = 0$ et $x = \ell$; je demande continuité des flux

Assumptions:

$$\begin{cases} j_{th}(x=0^-) = j_{th}(x=0^+) \\ j_{th}(x=\ell^-) = j_{th}(x=\ell^+) \end{cases}$$

On: $j_{th}(x=0) = -\lambda \frac{dT(x)}{dx}$ je demande de la de Fourier.

et de plus:

$j_{th}(x=0^-) = 0$ (spécification d'un fluide parfait à T_0 , donc flux nul à l'intérieur).

$$\Rightarrow \left. \frac{dT(x)}{dx} \right|_{x=0^+} = 0.$$

d'où $T(x=\ell) = \text{constante} = T_0$.

* Par ailleurs: $j_{th}(x=\ell^-) = -\lambda \frac{dT(x=\ell)}{dx}$

$j_{th}(x=\ell^+) = R(T(\ell) - T_\alpha)$.

d'où: $-\lambda \frac{dT(x=\ell)}{dx} = R(T(\ell) - T_\alpha)$

if $-T(x) = ?$

On a: $\frac{d^2 T(x)}{dx^2} - \frac{T(x) - T_\alpha}{c^2} = 0$.

On pose: $\Theta(x) = T(x) - T_\alpha$
 $\Rightarrow \frac{d^2 \Theta(x)}{dx^2} = \frac{d^2 T(x)}{dx^2}$

et: $\frac{d^2 \Theta(x)}{dx^2} - \frac{\Theta(x)}{c^2} = 0$.

cette Equation admet pour solution:

$$\Theta(x) = T(x) - T_\alpha = \alpha \cosh\left(\frac{x}{c}\right) + \beta \sinh\left(\frac{x}{c}\right)$$

avec α et β : constantes.

On: $T(0) = T_0$

$\Rightarrow T_0 - T_\alpha = \alpha \cosh(0) + \beta \sinh(0)$

d'où $\alpha = T_0 - T_\alpha$

$-\lambda \frac{dT(x=\ell)}{dx} = R(T(\ell) - T_\alpha)$; or:

$$\frac{dT(x)}{dx} = \alpha \times \frac{1}{c} \sinh\left(\frac{x}{c}\right) + \beta \cosh\left(\frac{x}{c}\right)$$

$\Rightarrow \frac{dT(x=\ell)}{dx} = \frac{\alpha}{c} \sinh\left(\frac{\ell}{c}\right) + \beta \cosh\left(\frac{\ell}{c}\right)$

et:

$$-\lambda \frac{\alpha}{c} \sinh\left(\frac{\ell}{c}\right) - \lambda \beta \cosh\left(\frac{\ell}{c}\right) = R(T_0 - T_\alpha)$$

$$T(\ell) = \alpha \cosh\left(\frac{\ell}{c}\right) + \beta \sinh\left(\frac{\ell}{c}\right) + T_\alpha$$

$\Rightarrow R(T_0 - T_\alpha) = R\alpha \cosh\left(\frac{\ell}{c}\right) + R\beta \sinh\left(\frac{\ell}{c}\right)$

(Donc: $(-\frac{\lambda \alpha}{c} \sinh\left(\frac{\ell}{c}\right) - \lambda \beta \cosh\left(\frac{\ell}{c}\right) + R\alpha) \cosh\left(\frac{\ell}{c}\right) = 0$)

$\Rightarrow \left[-R \sinh\left(\frac{\ell}{c}\right) - \frac{\lambda}{c} \cosh\left(\frac{\ell}{c}\right) \right] \times \beta = +\alpha \left(R \cosh\left(\frac{\ell}{c}\right) + \frac{\lambda}{c} \sinh\left(\frac{\ell}{c}\right) \right)$

$\Rightarrow \beta = -\alpha \frac{R \cosh\left(\frac{\ell}{c}\right) + \frac{\lambda}{c} \sinh\left(\frac{\ell}{c}\right)}{R \sinh\left(\frac{\ell}{c}\right) + \frac{\lambda}{c} \cosh\left(\frac{\ell}{c}\right)}$

donc :
$$\int \beta = -(T_0 - T_a) \frac{h \, d(\rho/L) + \lambda/L \, dh(\rho/L)}{h \, dh(\rho/L) + \lambda/L \, dh(\rho/L)} = -(T_0 - T_a)$$

et donc :
$$T(x) = T_a + (T_0 - T_a) \, dh\left(\frac{x}{L}\right) - (T_0 - T_a) \, f(\rho/L, \lambda, h) \, dh\left(\frac{x}{L}\right)$$

$$\Leftrightarrow T(x) = T_a + (T_0 - T_a) \left[dh\left(\frac{x}{L}\right) - f(\rho/L, \lambda, h) \, dh\left(\frac{x}{L}\right) \right]$$

(on pose $T_1 = T_a$, $T_2 = T_0 - T_a$ et $f(\rho/L, \lambda, h) = \frac{h \, dh(\rho/L) + \frac{\lambda}{2} \, dh(\rho/L)}{h \, dh(\rho/L) + \frac{\lambda}{2} \, dh(\rho/L)}$)

pour seconder le résultat de l'énoncé.

8 - On sait que :

$$T(\rho) = (T_0 - T_a) \, dh\left(\frac{\rho}{L}\right) + (T_0 - T_a) \, f(\rho/L, \lambda, h) \, dh\left(\frac{\rho}{L}\right) + T_a$$

On : $L = \sqrt{\frac{2\lambda}{2h}} \approx 3,7 \text{ cm}$ et $\ell = 2 \text{ cm}$, donc :

et
$$\frac{T(\rho) - T_0}{T_0} = \frac{(T_0 - T_a)}{T_0} \left[dh\left(\frac{\rho}{L}\right) - f(\rho/L, \lambda, h) \, dh\left(\frac{\rho}{L}\right) + 1 \right]$$

On :
$$\left\{ \begin{aligned} dh\left(\frac{\rho}{L}\right) &\approx 1,15, \quad dh\left(\frac{\rho}{L}\right) \approx 0,57; \\ f(\rho/L, \lambda, h) &\approx 0,54 \end{aligned} \right.$$

Donc :
$$\left\{ \begin{aligned} T(\rho) &= 335,7 \text{ K} \\ T_0 &= 273,15 + 70 = 343 \text{ K} \\ \alpha &= T_0 - T_a = 50 \text{ K} \\ \beta &= -26 \text{ K} \end{aligned} \right. \Rightarrow \frac{T(\rho) - T_0}{T_0} \approx \frac{335,7 - 343}{343} \approx -2,1\% \approx 10^{-2}$$

le calcul relatif entre les deux températures est de l'ordre de 2% : la température de l'air reste est donc constante et reste T_0 .

9 - On a : $dP \approx h(T(x) - T_a) \times 2a \, dx \approx -2a h T_a \, dx + 2a h T(x) \, dx$

En intégrant entre 0 et ℓ :
$$P_1 = -2a h T_a \ell + 2a h \int_0^\ell (T_a + \alpha \, dh\left(\frac{x}{L}\right) + \beta \, dh\left(\frac{x}{L}\right)) \, dx$$

On :
$$\int dh\left(\frac{x}{L}\right) \, dx = L \, dh\left(\frac{x}{L}\right) + \text{cte}$$

$$\int dh\left(\frac{x}{L}\right) \, dx = L \, dh\left(\frac{x}{L}\right) + \text{cte}$$

Donc :
$$P_1 = -2a h T_a \ell + 2a h T_a \ell + 2a h \alpha L \left(dh\left(\frac{\ell}{L}\right) - dh(0) \right) + 2a h \beta L \left(dh\left(\frac{\ell}{L}\right) - dh(0) \right)$$

$$\Leftrightarrow P_1 = 2a h \alpha L \, dh\left(\frac{\ell}{L}\right) + 2a h \beta L \, dh\left(\frac{\ell}{L}\right) = 2a h L \left[\alpha \, dh\left(\frac{\ell}{L}\right) + \beta \, dh\left(\frac{\ell}{L}\right) \right]$$

A.N. : $P_1 \approx 8,3 \text{ mW}$

on rajoute de plus les pertes en $x = \ell$:

$$P_2 = h(T(\ell) - T_a) \times a \times \ell \approx 0,4 \text{ mW}$$

donc : $P = P_1 + P_2 = 8,7 \text{ mW}$

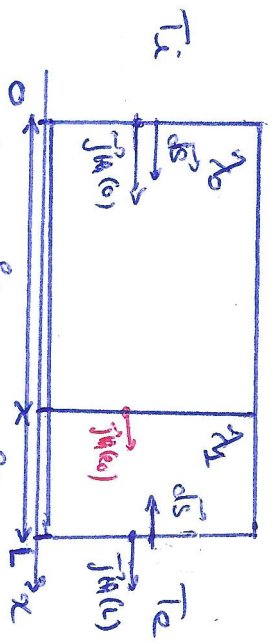
Remarque : en considérant T cste : $T(x) \rightarrow T_0$, donc :

$$10 - P' = h(T_0 - T_a) \times a \times \ell = 0,45 \text{ mW}$$

$$P = h(T_0 - T_a) \times (2a\ell + 2a\ell + a\ell) \approx 2a h R (T_0 - T_a) \approx 9,0 \text{ mW}$$

$$11 - \eta = \frac{P}{P'} \approx \frac{8,7}{0,45} \approx 19 \Rightarrow$$
 approximativement 20% imperfections de TFC

Diffusion dans un mur



1 - En régime forcé continu (= stationnaire) :

$$\frac{d^2 T(x)}{dx^2} = 0 \quad (1) \text{ (car sans dimensionnel).}$$

2 - Flux continu en $x=0$, $x=L$ et température conti- nue en $x = x_0$.

Où :

$$T(x) = Ax + B$$

$$(A, B \in \text{cste}, \mathbb{R})$$

après intégration de (1).

Donc, selon la loi de Fourier : $j_{\lambda_0}(x) = -\lambda_0 \frac{dT(x)}{dx}$

$$\Rightarrow j_{\lambda_0}(x) = -\lambda_0 A = \text{constante}$$

Donc :

• en $x=0$: contact avec air intérieur :

$$T_0(0) = B_0 = T_i$$

• en $x = x_0$: continuité de la température ET du flux :

$$T_0(x=x_0) = T_1(x=x_0) \Rightarrow B_0 + A_0 x_0 = B_1 + A_1 x_0$$

$$\Phi_0(x=x_0) = \Phi_1(x=x_0) \text{ avec } \Phi_0(x) = \int_{x_0}^x j_{\lambda_0}(x) \cdot dS$$

$$j_{\lambda_0}(x) = -\lambda_0 \frac{dT}{dx} \Rightarrow -\lambda_0 A_0 = -\lambda_1 A_1 \Rightarrow \lambda_0 A_0 = \lambda_1 A_1$$

De plus :

$$x = x_0 + x_0 = L : T_1(x) = T_L$$

et de même que précédemment :

$$\Phi(x=L) = \Phi(x=L^+)$$

$$\Rightarrow j_{\lambda_1}(x=L) = j_{\lambda_1}(x=L^+)$$

$$\Rightarrow -\lambda_1 A_1 = \lambda_1 (T_L - T_e)$$

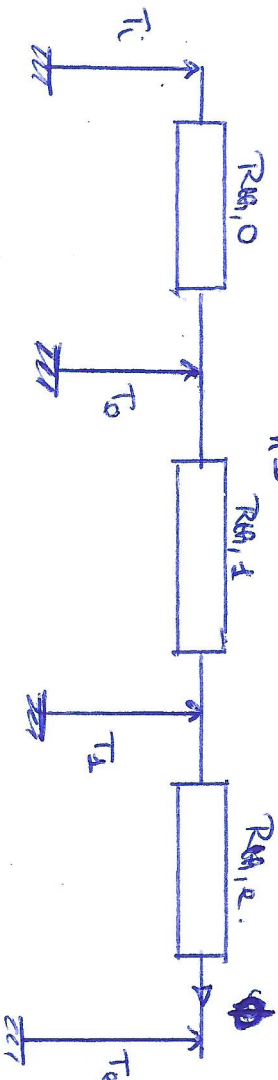
$$\Rightarrow A_1 = -\frac{\lambda_1}{\lambda_1} (T_L - T_e) \text{ avec } T_L = A_1 L + B_1$$

3 - Association en série de 3 résistances :

$$R_{th,0} = \frac{L_0}{\lambda_0 S} \quad (L_0 \in [0, x_0])$$

$$R_{th,1} = \frac{L_1}{\lambda_1 S} \quad (L_1 \in [x_0, x_0 + x_1])$$

$$R_{th,e} = \frac{L}{\lambda_e S}$$



$$4 - (T_i - T_e) = (R_{th,0} + R_{th,1} + R_{th,e}) \Phi$$

$$\Rightarrow \Phi = \frac{T_i - T_e}{R_{th,0} + R_{th,1} + R_{th,e}}$$

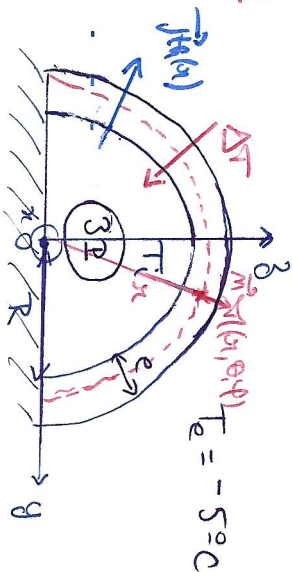
Donc :

$$T_0 - T_0 = R_{th,0} \Phi \Rightarrow T_0 = T_i - \frac{R_{th,0} (T_i - T_e)}{R_{th,0} + R_{th,1} + R_{th,e}}$$

et, de même : $T_L = T_e + \frac{R_{th,e}}{R_{th,0} + R_{th,1} + R_{th,e}} (T_i - T_e)$

avec $R_{th,0} = \frac{L_0}{\lambda_0 S}$ et $R_{th,1} = \frac{L_1}{\lambda_1 S}$

Iqloo



On suppose la situation stationnaire : le flux thermique à travers la glace est donc constant, et il est possible de définir une résistance thermique pour chaque partie du système.

Q1 - la résistance thermique de l'igloo est $R_{th,i}$ telle que :

$$R_{th,i} = \frac{\Delta T}{\Phi} = \frac{T_i - T_e}{\Phi} \quad \text{Système: } \left\{ \begin{array}{l} \text{glace} \\ \text{air} \end{array} \right.$$

avec Φ le flux thermique à travers la glace.

On fait de la résistance thermique de l'igloo, on peut approximer que le flux thermique à travers la glace ne dépend que de $r \in [R; R+e]$. Or :

$$\Phi(r) = \iint_{\vec{S}} \vec{j}_H(r) \cdot d\vec{S} = j_H(r) \cdot S$$

avec S : surface de la demi-sphère de rayon $r \in [R; R+e]$:

$$S = 2\pi r^2$$

Ainsi :

$$\Phi(r) = 2\pi r^2 j_H(r) = \text{constante} = \Phi$$

Or : $\vec{j}_H = -\lambda \text{grad} T = -\lambda \frac{dT}{dr} \vec{u}_r$, donc : $j_H = -\lambda \frac{dT}{dr}$

Ainsi : $\Phi(r) = -2\pi \lambda r^2 \frac{dT(r)}{dr}$

$\Leftrightarrow dT = -\frac{\Phi}{2\pi \lambda} \times \frac{dr}{r^2}$

En intégrant cette expression de R à $R+e$, il vient :

$$T(R+e) - T(R) = -\frac{\Phi}{2\pi \lambda} \times \left(\frac{1}{R} + \frac{1}{R+e} \right)$$

$$\Leftrightarrow T_e - T_i = -\frac{\Phi}{2\pi \lambda} \left(\frac{1}{R} + \frac{1}{R+e} \right)$$

Ainsi :

$$R_{th,i} = \frac{T_i - T_e}{\Phi} = \frac{1}{2\pi \lambda} \left(\frac{1}{R} + \frac{1}{R+e} \right)$$

$$\Leftrightarrow R_{th,i} = \frac{e}{2\pi \lambda R(R+e)}$$

A.N. : $R_{th,i} \approx 3,3 \times 10^{-3} \text{ K} \cdot \text{m}^2 \cdot \text{W}^{-1}$

Q2 - le système d'igloo peut être modélisé comme la mise en série de trois résistances thermiques : deux pour les parois conductives en contact avec l'air, et une pour la glace :



Ainsi :

$$R_{th,tot} = \sum R_{th,i} = R_{th,air} + R_{th,i} + R_{th,air} = \frac{1}{\lambda S_{int}} + \frac{1}{2\pi \lambda R} + \frac{1}{\lambda S_{ext}}$$

avec $S_{int} = 2\pi R^2$ et $S_{ext} = 2\pi (R+e)^2$

Annaï:

$$R_{th, tot} = \frac{1}{2\pi R R^2} + \frac{1}{2\pi R (R+e)^2} + \frac{e}{2\pi \lambda R (R+e)}$$

Le système est alors équivalent à :



D'où: $\Delta T = R_{th, tot} \cdot \phi$ avec $\phi = \frac{T_i - T_e}{R_{th, i}}$

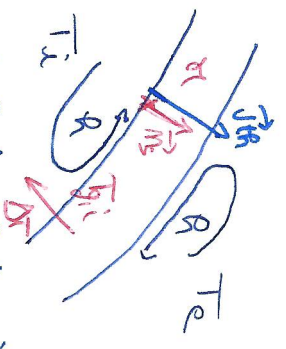
$\phi = 300 \text{ W}$ (4.74)

Annaï: $T_i = T_e + R_{th, tot} \cdot \phi$

A.N.: $\begin{cases} R_{th, tot} \approx 3,0 \times 10^{-2} \text{ K} \cdot \text{W}^{-1} \\ T_e \approx 288 \text{ K} \end{cases}$

D'où: $T_i \approx 277 \text{ K}$ soit $T_i \approx 4^\circ \text{C}$.

Q3 - IR pour évaluer la température sur la face interne de l'isole. Cette température n'est pas celle de l'air dans l'isole (discontinuité de la température à l'interface air/isole).



Selon la loi de NEWTON: $\vec{j}_{th} \cdot \vec{m}_s = h \cdot (T_e - T_{g,i})$

à l'interface air interne/isole. (2)

On: $\phi = j_{th} \cdot S_{int} = j_{th} \times 2\pi R^2$, donc:

$$\phi = h (T_e - T_{g,i})$$

$$\Rightarrow T_{g,i} = T_e - \frac{\phi}{2\pi R^2 \cdot h}$$

A.N.: $T_{g,i} = 277 - \frac{300}{2\pi \times 2,5^2 \times 5} \approx 272,8 \text{ K}$

soit $T_{g,i} < 0^\circ \text{C}$: la face de l'isole ne fond pas.

Rq: on peut également utiliser la résistance thermique associée au flux conducto-convectif sur la face interne:

$$R_{th, int} = \frac{1}{h \times 2\pi R^2}$$

d'où: $T_e - T_{g,i} = R_{th, int} \times \phi$

$$\Rightarrow T_{g,i} = T_e - \frac{\phi}{2\pi R^2 h}$$

Sensation de chaud et de froid

A- REGIME STATIONNAIRE

1. Equations de la diffusion :

• Tableau (1) : $\frac{\partial T(x,t)}{\partial t} = D_{eq,1} \frac{\partial^2 T(x,t)}{\partial x^2}$

• Tableau (2) : $\frac{\partial T_2(x,t)}{\partial t} = D_{eq,2} \frac{\partial^2 T_2(x,t)}{\partial x^2}$

avec : $T_1(x), T_2(x,t)$: températures dans les milieux (1) et (2).

• $D_{eq,1} = \frac{\lambda_1}{\rho_1 c_1}$; $D_{eq,2} = \frac{\lambda_2}{\rho_2 c_2}$

Donc, en régime stationnaire :

• $T_1(x) = A_1 x + B_1$ } $A_1, B_1 = \text{const. } \pi$
 } $x \in [0; l_1]$

• $T_2(x) = A_2 x + B_2$ } $A_2, B_2 = \text{const. } \pi$
 } $x \in [l_1; l_2]$

• Pour $x = l_1$: $T_1(l_1) = T_2 = B_2 + A_2 l_1$ (1)

• Pour $x = l_2$: $T_2(l_2) = T_2 = B_2 + A_2 l_2$ (2)

• Pour $x = 0$: conservation de flux thermique :

$$\int_0^{l_1} T_{1,1}(x) \cdot dS_1 = \int_{l_1}^{l_2} T_{2,2}(x) \cdot dS_2$$

avec $dS_1 = dS_2 = ds$ et $dS_1 = dS_2 = ds$

Or : $\int_{T_{1,1}} = -\lambda_1 \frac{dT_{1,1}}{dx}$ et $\int_{T_{2,2}} = -\lambda_2 \frac{dT_{2,2}}{dx}$

donc :

$$\int_{T_{1,1}} = -\lambda_1 A_1 dx$$

$$\int_{T_{2,2}} = -\lambda_2 A_2 dx$$

et donc : $-\lambda_1 A_1 = -\lambda_2 A_2$

$$\Leftrightarrow \begin{cases} A_1 = \frac{\lambda_2}{\lambda_1} A_2 \end{cases}$$

De plus, on suppose la continuité de flux fait entre les 2 milieux :

$T_1(0) = T_2(0) = T_0$

$\Leftrightarrow B_1 = B_2 = T_0$

Finalement :

(2)-(1) $\Rightarrow T_2 - T_1 = A_2 l_2 - A_1 l_1 = A_2 (l_2 - \frac{\lambda_2}{\lambda_1} l_1)$

et $A_2 = \frac{T_2 - T_1}{l_2 - \frac{\lambda_2}{\lambda_1} l_1} = \frac{\lambda_1}{\lambda_2} A_1$

et $A_1 = \frac{\lambda_2}{\lambda_1 l_2 - l_1} (T_2 - T_1)$

Ainsi, pour $x \in [l_1; l_2]$:

$$T_{1,1}(x) = \frac{\lambda_2}{\lambda_1 l_2 - l_1} (T_2 - T_1) x + T_0$$

$$T_{2,2}(x) = \frac{\lambda_1}{\lambda_1 l_2 - \lambda_2 l_1} (T_2 - T_1) x + T_0 \quad (1)+(2)$$

2- $T_0 = \frac{T_1 + T_2}{2} - \frac{A_1 l_1 + A_2 l_2}{2}$

$\Leftrightarrow T_0 = \frac{T_1 + T_2}{2} - \frac{\lambda_2 l_1 + \lambda_1 l_2}{\lambda_1 l_2 - \lambda_2 l_1} \frac{T_2 - T_1}{2}$

$\Delta l_2 < 0$

$$= \frac{1}{2} \frac{T_1 \lambda_1 l_2 - T_2 \lambda_2 l_1 - T_2 \lambda_1 l_2 + T_1 \lambda_2 l_1}{\lambda_1 l_2 - \lambda_2 l_1}$$

$$= \frac{T_1 \lambda_1 l_2 - T_2 \lambda_2 l_1}{\lambda_1 l_2 - \lambda_2 l_1}$$

3 - On pose : $\mu_1 \approx \mu_2 \Rightarrow \mu_1 = -\mu_2$

et $\begin{cases} T_1 = 20^\circ\text{C} = 293\text{K} \\ T_2 = 34^\circ\text{C} = 310\text{K} \end{cases}$

* Contact @ métal / verre (2) : $\begin{cases} \lambda_1 = 350 \text{ N}\cdot\text{m}^{-2}\cdot\text{K}^{-1} \\ \lambda_2 = 6,0 \times 10^{-2} \text{ N}\cdot\text{m}^{-2}\cdot\text{K}^{-1} \end{cases}$

$$\Rightarrow T_0 = \frac{T_1 \lambda_1 + T_2 \lambda_2}{\lambda_1 + \lambda_2}$$

A.N. : $T_0 \approx 293\text{K}$
 $\approx 20^\circ\text{C} \approx T_1$

* Contact (1) bois / verre (2) : $\begin{cases} \lambda_1 = 7,5 \times 10^{-4} \text{ N}\cdot\text{m}^{-2}\cdot\text{K}^{-1} \\ \lambda_2 = 6,0 \times 10^{-2} \text{ N}\cdot\text{m}^{-2}\cdot\text{K}^{-1} \end{cases}$

Bonne : $T_0 \approx 301\text{K} \approx 28^\circ\text{C} > T_0, a$

Ainsi, la jonction métal / verre présente une $T < T_0$ de jonction plus basse que celle de bois / verre : le métal est plus froid au toucher que le bois.

B - REGIME VARIABLE

4 - Pour chaque milieu :

$$\frac{\partial T(x,t)}{\partial t} = \text{Diver}_i \frac{\partial^2 T(x,t)}{\partial x^2}$$
 avec $i = 1, 2$
 Diver = $\frac{\lambda_i}{\rho_i c_i}$

5 - Soit la fonction : $f(x,t) = \frac{2}{\sqrt{\pi}} \int_0^{x/\sqrt{4t}} e^{-u^2} du$

⚠ Exercice dans le monome : $e^{-u^2} du$!

on pose $v(x,t) = \frac{x}{2\sqrt{4t}}$

On injecte dans $\frac{\partial f(x,t)}{\partial t} = D \frac{\partial^2 f}{\partial x^2}$; (2)

$$\begin{cases} \frac{\partial f}{\partial t} = \frac{\partial}{\partial t} \left[\frac{2}{\sqrt{\pi}} [F(v) - F(0)] \right] & \frac{\partial F(0)}{\partial t} = 0 \\ \frac{\partial^2 f}{\partial x^2} = \frac{\partial}{\partial x} \left[\frac{2}{\sqrt{\pi}} [F'(v) - F'(0)] \right] & \frac{\partial F'(0)}{\partial x} = 0 \end{cases}$$

on pose $\int e^{-u^2} du = F(u)$; F : une primitive de e^{-u^2}

on : $\frac{\partial}{\partial t} [F(v)] = \frac{dF}{dv} \times \frac{\partial v}{\partial t}$

Rq : $\frac{dF(x)}{dx} = f(x) = e^{-x^2}$; $\frac{\partial v}{\partial t} = \frac{x D}{2(2t)^{3/2}}$

on a une primitive de f : $\int e^{-x^2} dx = F(x)$
 donc $\frac{dF(x)}{dx} = f(x)$
 $= -e^{-x^2/4t} \times \frac{x}{2\sqrt{t} \cdot 3/2}$

$$\frac{\partial}{\partial x} [F(v)] = \frac{dF}{dv} \times \frac{\partial v}{\partial x}$$

donc : $\frac{\partial^2}{\partial x^2} [F(v)] = \frac{\partial}{\partial x} \left[\frac{2 \frac{dF}{dv}}{2\sqrt{4t}} \times \frac{1}{2\sqrt{4t}} \right]$

$$\begin{aligned} &= \frac{1}{2\sqrt{4t}} \times \frac{d}{dx} \left[e^{-v^2} \right] \times \frac{\partial v}{\partial x} \\ &= \frac{1}{2\sqrt{4t}} \times (-2v) e^{-v^2} \times \frac{1}{2\sqrt{4t}} \\ &= -\frac{x}{4(2t)^{3/2}} e^{-x^2/4t} \end{aligned}$$

Ainsi :

$$\begin{cases} \frac{\partial f}{\partial t} = -e^{-x^2/4t} \times \frac{x}{2\sqrt{4t} \cdot 3/2} \\ D \frac{\partial^2 f}{\partial x^2} = -e^{-x^2/4t} \times \frac{x}{2\sqrt{4t} \cdot 3/2} = \frac{\partial f}{\partial t} \Rightarrow OK \end{cases}$$

6 - D'après l'équation de la diffusion on écrit de généralité :

$$\tau = \frac{L^2}{D} \Rightarrow \boxed{L = \sqrt{D\tau}}$$

Arrivé, sur son circuit finale ($\tau < +\infty$), la température à $\rho = \infty$ ne change pas !

$$\begin{cases} \lim_{x \rightarrow +\infty} T_1(x, t) = T_1 \\ \lim_{x \rightarrow +\infty} T_2(x, t) = T_2 \end{cases}$$

7 - On a :

$$\begin{cases} T_2(x, t) = a_2 + b_2 f(x, t) \\ T_2(x, t) = a_2 + b_2 f(x, t) \end{cases}$$

Donc :

$$\lim_{x \rightarrow -\infty} T_2(x, t) = \boxed{a_2 - b_2 = T_1}$$

$$\lim_{x \rightarrow +\infty} T_2(x, t) = \boxed{a_2 + b_2 = T_2}$$

$$T_2(0, t) = T_2(0, t) = T_0 \Rightarrow \boxed{a_2 = a_2 = T_0}$$

$$a_2 = T_1(0, t) = T_0(0, t) \Rightarrow \lambda_1 b_2 \frac{\partial f_2(0, t)}{\partial x} = \lambda_2 b_2 \frac{\partial f_1(0, t)}{\partial x}$$

$$\frac{\partial f_2(x, t)}{\partial x} = \frac{1}{\sqrt{\pi \alpha_2 t}} e^{-x^2 / 4\alpha_2 t}$$

$$\Rightarrow \frac{\partial f_1(0, t)}{\partial x} = \frac{1}{\sqrt{\pi \alpha_1 t}} \quad \text{et} \quad \frac{\partial f_2(0, t)}{\partial x} = \frac{1}{\sqrt{\pi \alpha_2 t}}$$

$$\text{Donc : } \varphi_2(0, t) = \varphi_1(0, t) \Leftrightarrow \frac{\lambda_1 b_2}{\sqrt{\alpha_1}} = \frac{\lambda_2 b_1}{\sqrt{\alpha_2}}$$

$$\text{On pose : } E_1 = \sqrt{\rho_1 c_1 \lambda_1} ; E_2 = \sqrt{\rho_2 c_2 \lambda_2}$$

$$\text{Arrivé : } \frac{\lambda_1}{\sqrt{\alpha_1}} = \lambda_1 \times \frac{\sqrt{\rho_2 c_2}}{\sqrt{\lambda_2}} = \sqrt{\lambda_1 \rho_1 c_1} = E_1 \quad \text{et} \quad \frac{\lambda_2}{\sqrt{\alpha_2}} = E_2$$

$$\text{et : } \boxed{E_1 b_2 = E_2 b_1}$$

8 - On a :

$$(T_2 - T_1) \Rightarrow b_2 + b_1 = \left(\frac{E_1 + E_2}{E_2} \right) b_1$$

$$\Leftrightarrow \begin{cases} b_2 = (T_2 - T_1) \times \frac{E_2}{E_2 + E_1} \\ b_2 = (T_2 - T_1) \times \frac{E_1}{E_2 + E_1} \end{cases}$$

$$\text{De plus : } T_0 = T_1 + b_1 \quad (\text{ou } T_0 = T_2 + b_2)$$

$$\Rightarrow T_0 = \frac{T_1(E_2 + E_1) + (T_2 - T_1)E_2}{E_2 + E_1}$$

$$\Leftrightarrow \boxed{T_0 = \frac{T_1 E_1 + T_2 E_2}{E_1 + E_2}}$$

$$\text{A.N. : } \left. \begin{array}{l} T_0 \approx 22^\circ\text{C} \text{ (mètre/heure)} \\ T_0 \approx 20^\circ\text{C} \text{ (soin/heure)} \end{array} \right\}$$

9 - Modèle A : Adapter son système pour avoir "température" pour s'appliquer aux temps de diffusion \Rightarrow pas possible car l'expérience de toucher d'un objet est trop rapide pour cela.

Modèle B : plus adapté.

⚠ Tenir si les matériaux sont conducteurs simplifiés dans B, on ne s'occupe de la diffusion que sur une longueur L égale à $\sqrt{D\tau_{\text{eff}}}$ où τ_{eff} est la durée de toucher.
 Donc tant que les matériaux ont une extension $\gg L$:
 modèle B adapté.

Assimilation d'une barre

On donne $T_{i,m}(x) = T_0 + \Theta \sin\left(\frac{m\pi x}{e}\right)$ à l'instant $t=0$.

Q1- Pour des temps très longs, la barre étant en contact avec un thermostat de température T_0 , la température de la barre sera égale à T_0 (équation thermique).

Q2- cf. cours. Il s'agit de l'équation de la diffusion thermique en coordonnées cartésiennes, unidimensionnelles:

$$\frac{\partial T(x,t)}{\partial t} = D \frac{\partial^2 T(x,t)}{\partial x^2}$$

Le système étant la barre.

Q3- On pose $T(x,t) = A + f(x)g(t)$, avec A une constante réelle. On suppose que $x \in [0; e]$ et $t \in \mathbb{R}^+$.

On a :

$$f(x) \cdot \frac{dg(t)}{dt} = D \cdot \frac{d^2 f(x)}{dx^2} \cdot g(t)$$

soit $f(x) \cdot g'(t) = D \cdot f''(x) \cdot g(t)$.

Il s'agit de séparer les variables (séparation des variables):

$$\frac{g'(t)}{g(t)} = D \cdot \frac{f''(x)}{f(x)}$$

Le membre de gauche ne dépend que de "t", celui de droite que de "x". La seule solution possible de cette équation est que $\frac{g'(t)}{g(t)}$ et $D \frac{f''(x)}{f(x)}$ soient égaux à la même constante, notée α :

$$\begin{cases} \frac{g'(t)}{g(t)} = \alpha \\ D \cdot \frac{f''(x)}{f(x)} = \alpha \end{cases} \Leftrightarrow \begin{cases} g'(t) - \alpha g(t) = 0 \\ f''(x) - \frac{\alpha}{D} f(x) = 0 \end{cases}$$

L'équation (1) donne:

$$g(t) = g(0)e^{\alpha t} \Rightarrow \alpha < 0 \text{ car la température ne peut diverger pour } t \rightarrow +\infty$$

L'équation (2) donne:

$$f(x) = f_1 \cos\left(\sqrt{\frac{\alpha}{D}}x\right) + f_2 \sin\left(\sqrt{\frac{\alpha}{D}}x\right), \quad \left\{ \begin{matrix} f_1 + f_2 \end{matrix} \right\} \in \mathbb{R}^2, \text{ constantes.}$$

car l'équation caractéristique s'écrit:

$$x^2 - \frac{\alpha}{D} = 0 \Rightarrow x^2 = \frac{\alpha}{D} \text{ mais } \alpha < 0$$

Donc :

$$x^2 = j^2 \left(-\frac{\alpha}{D}\right)$$

$$\Rightarrow x = \pm j \sqrt{\frac{\alpha}{D}}^{1/2} \text{ avec } \beta = -\alpha, \beta > 0.$$

Finalement :

$$T(x,t) = A + \left[f_1 \cos\left(\sqrt{\frac{\beta}{D}}x\right) + f_2 \sin\left(\sqrt{\frac{\beta}{D}}x\right) \right] g(0)e^{-\beta t}$$

q4- Pour $t=0$, $T(x,0) = T_c(m(x))$
 $= \bar{T}_0 + \Theta_0 \sin\left(\frac{m\pi x}{l}\right)$

On: $T(x,0) = A + g(0)f_1 \cos\left(\sqrt{\frac{\beta}{D}}x\right) + g(0)f_2 \sin\left(\sqrt{\frac{\beta}{D}}x\right)$

Pour connaître avec l'expression donnée, il vient:

$$\begin{cases} A = \bar{T}_0 \\ g(0)f_1 = 0 \\ g(0)f_2 = \Theta_0 \\ \sqrt{\frac{\beta}{D}} = \frac{m\pi}{l} \end{cases} \Rightarrow$$

$$\begin{cases} A = \bar{T}_0 \\ f_1 = 0 \\ g(0)f_2 = \Theta_0 \\ \beta = \frac{(m\pi)^2 D}{l^2} \end{cases}$$

Ainsi:

$$T(x,t) = \bar{T}_0 + g(0)f_2 \sin\left(\sqrt{\frac{\beta}{D}}x\right)e^{-\beta t}$$

$$\Rightarrow T(x,t) = \bar{T}_0 + \Theta_0 \sin\left(\frac{m\pi x}{l}\right)e^{-\frac{m^2 \pi^2 D}{l^2} t}$$

q5- $T(x,t)$ présente une fonction exponentielle décroissante dans son expression. On pose τ le temps caractéristique de décroissance de T , équivalent au temps typique d'évolution:

$$T(x,t) = \bar{T}_0 + \Theta_0 \sin\left(\frac{m\pi x}{l}\right)e^{-t/\tau}$$

avec $\tau = \frac{l^2}{(m\pi)^2 D}$. On: $[\tau] = \frac{L^2}{\phi \cdot L \cdot T^{-1}} = T$

τ est donc bien homogène à un temps.

Rq: on retrouve, à un facteur $(m\pi)^2$ près, d'évolution

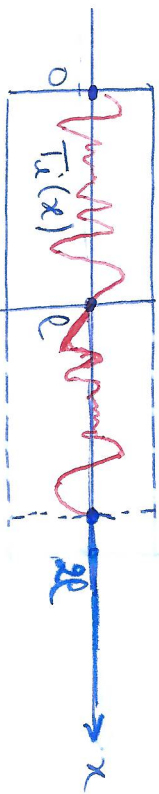
caractéristique de la diffusion:

$$l \sim \sqrt{D\tau}$$

avec l la longueur caractéristique de diffusion et τ le temps caractéristique de diffusion.

q6- On suppose que $T_1(x)$ est quelconque, à l'exception de ses valeurs en $x=0$ et $x=l$:

$$T_1(0) = T_1(l) = \bar{T}_0$$



On prolonge $T_1(x)$ sur $[0; 2l]$ de façon à rendre la nouvelle fonction $T_2(x)$ impaire et périodique, de période $2l$. Ainsi, $T_2(x)$ peut se développer en série de Fourier:

$$T_2(x) = \bar{T}_0 + \sum_{n=1}^{+\infty} T_n \sin\left(\frac{n\pi x}{2l}\right)$$

$$T_2(x) = \bar{T}_0 + \sum_{n=1}^{+\infty} T_n \sin\left(\frac{n\pi x}{2l}\right)$$

Rappel: pour une fonction périodique, de période T :

$$f(t) = a_0 + \sum_{n=1}^{+\infty} \left[a_n \cos\left(\frac{2n\pi t}{T}\right) + b_n \sin\left(\frac{2n\pi t}{T}\right) \right]$$

On: $T_2(0) = T_2(l) = \bar{T}_0 \Rightarrow T_{2,0} = \bar{T}_0$

La fonction $T_2(x)$ est une combinaison linéaire de la solution

$T(x,0) = T_c(m(x))$ précédente: elle est donc également

solution de l'équation de diffusion de la question q2-

La solution générale est donc :

$$T(x,t) = T_0 + \sum_{n=1}^{+\infty} T_n \sin\left(\frac{n\pi x}{l}\right) e^{-\frac{n^2 \pi^2 D}{l^2} t}$$

• On vérifie que cette solution correspond à la condition initiale :

$$T(x,0) = T_0 + \sum_{n=1}^{+\infty} T_n \sin\left(\frac{n\pi x}{l}\right) = T_2(x),$$

ce qui était attendu. Par ailleurs, aux temps longs :

$$\lim_{t \rightarrow +\infty} T(x,t) = T_0.$$

On retrouve l'équilibre thermique attendu à la question

q1 - : la durée de thermisation jusqu'à atteindre la température T_0 .

Rq : la question q6 - est quasiment le programme.
Elle n'est pas à traiter en priorité.

Exercice : Faut à mi-século

Q1 - cf. cours :

$$\frac{\partial T(x,t)}{\partial t} = \frac{\lambda}{\rho c} \frac{\partial^2 T(x,t)}{\partial x^2} + \frac{P}{2aSc}$$

$V = 2aSc$

* Continuité des flux thermiques en $\pm e$:

• $\vec{j}_H(+e,t) \cdot S \vec{u}_x = \Phi_S = q S (T_S(t) - T_0)$

(\Leftrightarrow) $\vec{j}_H(+e,t) = q (T_S(t) - T_0) \vec{u}_x$

• $\vec{j}_H(-e,t) \cdot (-S \vec{u}_x) = \Phi_S = q S (T_S(t) - T_0)$

(\Leftrightarrow) $\vec{j}_H(-e,t) = -q (T_S(t) - T_0) \vec{u}_x$
 Neuf : signes de $T_S - T_0 \Rightarrow$ en accord ac orientat° de \vec{j}_H .

Q2 - Régime permanent : $\frac{\partial T}{\partial t} = 0$

Donc : $\frac{d^2 T(x)}{dx^2} = -\frac{P}{2aSc}$

$\Rightarrow T_2(x) = -\frac{P}{4aSc} x^2 + K_1 x + K_2$ avec K_1, K_2 arbitr.

Or : $\vec{j}_H = -\lambda \frac{dT}{dx} = \lambda \times \frac{P}{2aSc} x + K_1$

• Continuité des flux en $x = e$: $\vec{j}_H(+e,t) = -\lambda \frac{dT_2(+e)}{dx} = -\frac{P}{2aSc} x(e) + K_1$

$= -\frac{P}{2aSc} x(e) + K_1$

Donc : $\frac{dT_2(x=e)}{dx} = -\frac{dT_1(x=e)}{dx}$

(\Leftrightarrow) $\frac{P}{2aSc} + K_1 = +\frac{P}{2aSc} - K_1 \Rightarrow K_1 = 0$

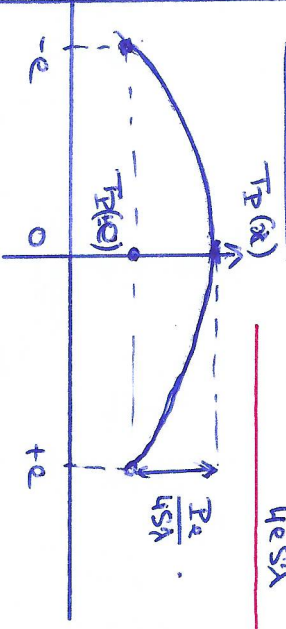
Annex :

$T_2(x) = -\frac{P}{4aSc} x^2 + K_1 x$

Or : $x = e$: $T_2(x=e) = T_2(e)$ donc :

$K_1 = T_2(e) + \frac{P}{4aSc} e^2$

Finalement : $T_2(x) = \frac{P}{4aSc} (e^2 - x^2) + T_2(e)$



• $x = 0$: $T_2(0) = T_2(e) + \frac{P}{4aSc}$

• En contact parfait avec un fluide à T_S :

$T_S = T_2(e)$

donc $\vec{j}_H(e) = \frac{P}{2aSc} = q (T_2(e) - T_0)$ et $T_2(e) = T_0 + \frac{P}{2aSc}$

D'où : $T_2(0) = T_0 + \frac{P}{2aSc} \left(1 + \frac{P}{2aSc}\right)$

Q3 - On cherche $f(t)$ telle que :

• $t = 0$: $T(x,0) = T_0 \quad \forall x$

$\Rightarrow f(0) = 1$

• $t \rightarrow +\infty$: régime permanent atteint, donc $T(x,t) \rightarrow T_2(x)$

Donc : $f(t) = 0$ quand $t \rightarrow +\infty$

q4 - On injecte la forme connue de $T(x, t)$ dans

l'equation aux derivees partielles (par-journeement-!)

$$\frac{\partial T(x, t)}{\partial t} = (T(x) - T_0) \times (-f'(t))$$

$$\frac{\partial T(x, t)}{\partial x^2} = (1 - f(t)) \frac{d^2 T(x)}{dx^2} = f(t) \times \frac{P}{2\lambda S g}$$

Année: $f'(t) \times (T_0 - T(x)) = \frac{P}{2\lambda S g} + \frac{P}{2\lambda S g}$

Donc: $f'(t) = \frac{P}{2\lambda S g (T_0 - T(x))} f(t) = 0$

avec $f(x) = \frac{P}{2\lambda S g (T(x) - T_0)}$; $T(x) = \frac{P}{4\lambda S g} (e^{2x} - e^{-2x}) + T_0 + \frac{P}{2\lambda S g}$

Après developments: $f'(x) = \frac{2P}{g} \left(1 + \frac{g}{2\lambda} \left(1 - \frac{x^2}{a^2} \right) \right)$

$f(x)$ est donc \perp de x sur $g \ll x \ll 2\lambda$.

Alors: $f'(x) \approx \frac{2P}{g}$ et $f'(t) + \frac{g}{2\lambda} f(t) = 0$

$\Rightarrow f(t) = f(0) e^{-t/\tau_s}$ avec $\tau_s = \frac{2P}{g}$

or $f(0) = 1 \Rightarrow f(t) = e^{-t/\tau_s}$

q5 - On a: $\frac{d}{dt} \approx 0,05 \ll 1 \Rightarrow$ hyp. valide.

- $\tau_s = \frac{2P}{g} \Rightarrow \tau_s \approx 2,0 \times 10^3 s$
- soit ≈ 33 min.
- $T(x) \approx T_0 + \frac{P}{2\lambda S g} \Rightarrow T_p(0) \approx 27,93 K$

T au centre de la mousette est elle ! Apres tout...
de l'eau d'alcool...

q6 - On cherche τ_e telle que:

$T(0, \tau_e) = 39,3 K = T_{sup}$

$\Leftrightarrow T_0 + \frac{P}{2\lambda S g} \left(1 - f(\tau_e) \right) = 39,3 K = T_{sup}$

$\Leftrightarrow f(\tau_e) = 1 - (T_{sup} - T_0) \times \frac{2\lambda S g}{P}$

soit: $\tau_e = -\tau_s \ln \left[1 - (T_{sup} - T_0) \frac{2\lambda S g}{P} \right]$

Ann: $\tau_e \approx 874 s$. Il faut environ 1 min 30 pour se chauffer.
de mousette.

Expérience de Joseph FOURIER (1806)

q1- $T_0(\theta)$: fonction paire de θ :
 $\Rightarrow T_0(-\theta) = T_0(\theta)$.

a- Par symétrie du système, la densité de température ne dépend que de θ (et du temps t). Le bilan d'énergie donne, sur le système constitué d'une section de longueur $Rd\theta$ de l'anneau :

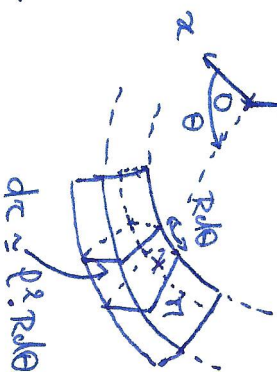
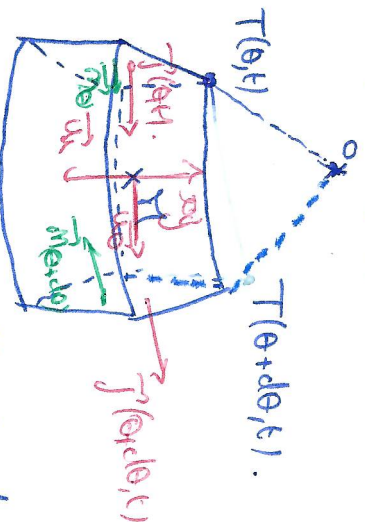
$$\cdot dU = \delta Q$$

$$\cdot dU = \mu c \frac{\partial T(\theta, t)}{\partial t} \cdot dt \cdot dr$$

avec $dr = \rho^2 R d\theta$.

• Un bilan spatial donne :

$$\delta Q = \phi(\theta, t) dt + \phi(\theta + d\theta, t) dt -$$



Rq: $\rho \ll R$: on suppose donc que le système ne dépend pas de r , la distance au centre 0.

On oriente arbitrairement le système de sorte que le repère cylindrique $(\vec{e}_r, \vec{e}_\theta, \vec{e}_z)$ forme un trièdre direct.

Ainsi :

$$\cdot \phi(\theta, t) = \iint \vec{j}(\theta, t) \cdot d\vec{S} \quad \text{avec } d\vec{S} = \rho^2 \vec{e}_\theta$$

$$\Rightarrow \phi(\theta, t) = \int_{\text{S}_\theta} \vec{j}(\theta, t) \cdot \vec{e}_\theta \cdot \rho^2$$

$$\cdot \phi(\theta + d\theta, t) = \int_{\text{S}_{\theta+d\theta}} \vec{j}(\theta + d\theta, t) \cdot d\vec{S}' \quad \text{avec } d\vec{S}' = -\rho^2 \vec{e}_\theta$$

donc :

$$\phi(\theta + d\theta, t) = - \int_{\text{S}_{\theta+d\theta}} \vec{j}(\theta + d\theta, t) \cdot \vec{e}_\theta$$

Finalement :

$$\delta Q = - \frac{\partial j(\theta, t)}{\partial \theta} \cdot d\theta \cdot \rho^2 \cdot dt$$

$$= - \frac{\partial}{\partial \theta} \left(\int_{\text{S}_\theta} \vec{j}(\theta, t) \cdot \vec{e}_\theta \right) \cdot dt \cdot dt$$

Avec $\vec{j}(\theta, t) = -\lambda \vec{\nabla} T = -\lambda \frac{\partial T}{\partial \theta} \vec{e}_\theta$, donc :

$\Delta \vec{\nabla} T = \frac{\partial T}{\partial \theta} \vec{e}_\theta$
 mais ici : $d\theta = R d\theta$
 donc : $\vec{\nabla} T = \frac{\partial T}{\partial \theta} \frac{1}{R} \vec{e}_\theta$

Finalement :

$$\delta Q = \frac{\lambda}{R^2} \frac{\partial^2 T}{\partial \theta^2} dt \cdot dt$$

$$dU = \delta Q$$

$$\Rightarrow \mu c \frac{\partial T(\theta, t)}{\partial t} = \frac{\lambda}{R^2} \frac{\partial^2 T(\theta, t)}{\partial \theta^2}$$

$$\Rightarrow \frac{\partial T(\theta, t)}{\partial t} = \frac{\text{Dm}}{R^2} \cdot \frac{\partial^2 T(\theta, t)}{\partial \theta^2}$$

avec $\text{Dm} = \frac{\lambda}{\mu c}$

On pose $T(\theta, t) = T_m + f(\theta)g(t)$; $T_m = \text{cte}$.

l'équation différentielle devient :

$$f(\theta) \cdot g'(t) = \frac{D_{\theta\theta}}{R^2} \cdot f''(\theta) \cdot g(t)$$

$$\Rightarrow \frac{g'(t)}{g(t)} = \alpha \frac{f''(\theta)}{f(\theta)}$$

pour $f(\theta) \neq 0 \forall \theta \in]-\pi; \pi[$
et $g(t) \neq 0 \forall t \in]0; +\infty[$

Cette égalité n'est vérifiée que pour $\frac{g'(t)}{g(t)} = \beta = \alpha \frac{f''(\theta)}{f(\theta)}$,

avec β une constante. Ainsi :

$$g'(t) = \beta g(t) \Rightarrow g(t) = g(\theta) e^{\beta t}$$

$$\begin{cases} g'(t) = \beta g(t) \\ f''(\theta) = \frac{\beta}{\alpha} f(\theta) \end{cases}$$

Comme la température ne peut pas diverger avec le temps :

$$\boxed{\beta < 0}$$

Ainsi : $f''(\theta) = \frac{\beta}{\alpha} f(\theta) \Leftrightarrow f''(\theta) - \frac{\beta}{\alpha} f(\theta) = 0$.

Equation caractéristique : $\alpha^2 - \frac{\beta}{\alpha} = 0 \Leftrightarrow \alpha = \pm \sqrt{\frac{\beta}{\alpha}}$

car $\beta/\alpha < 0$.

D'où : $f(\theta) = A \cos(\sqrt{\frac{\beta}{\alpha}} \theta) + B \sin(\sqrt{\frac{\beta}{\alpha}} \theta)$.

avec A et B des constantes réelles.

La fonction $f(\theta)$ étant périodique, $B = 0$. Ainsi :

$$f(\theta) = A \cos(\sqrt{\frac{\beta}{\alpha}} \theta)$$

212

et :

$$T(\theta, t) = T_m + A g(\theta) e^{\beta t} \cos(\sqrt{\frac{\beta}{\alpha}} \theta)$$

On pose $\beta = -\frac{\lambda}{\tau}$, avec τ une constante réelle positive :

$$T(\theta, t) = T_m + A g(\theta) e^{-\frac{\lambda}{\tau} t} \cos(\sqrt{\frac{\lambda}{\alpha \tau}} \theta)$$

Si aucune est plus valable pour. La valeur de $T(\pi, t)$ est donc égale à celle de $T(-\pi, t)$. Ceci n'est possible que si le flux en $\theta = \pi$ est nul, ce qui revient à :

$$-\frac{\lambda}{\tau} \frac{\partial T(\theta, t)}{\partial \theta} = 0 \text{ pour } \theta = \pi, \forall t \in]0; +\infty[$$

$$\Rightarrow + \frac{\lambda}{\tau} A g(\theta) e^{-\frac{\lambda}{\tau} t} \cdot \sqrt{\frac{\lambda}{\alpha \tau}} \sin(\sqrt{\frac{\lambda}{\alpha \tau}} \theta) = 0$$

Cette solution est valable $\forall t \in]0; +\infty[$. Ainsi :

$$\sin(\sqrt{\frac{\lambda}{\alpha \tau}} \theta) = 0 \quad \forall \theta \in]-\pi; \pi[$$

$$\Rightarrow \boxed{\frac{\lambda}{\alpha \tau} = m^2 \text{ avec } m \in \mathbb{Z}}$$

Ainsi :

$$T(\theta, t) = T_m + A g(\theta) \cdot e^{-\alpha m^2 t} \cos(m \theta) = T_m(\theta, t)$$

On pose $B_m = A g(\theta)$; la solution générale est la superposition

des n modes :

$$T(\theta, t) = T_m + \sum_{m=1}^{+\infty} B_m e^{-\alpha m^2 t} \cos(m \theta)$$

C est ainsi que Fourier introduisit les notions

de Fourier, décomposition en fonction trigonométrique de fonctions périodiques.

La constante de temps de l'ordre n est : $\tau_n = \frac{1}{\alpha n^2}$.

Ainsi, les termes d'ordres supérieurs à 1 décroissent rapidement mesurable durant la mesure fondamentale ($n=1$). On peut alors écrire :

$$T(\theta, t) \approx T_m + B_2 \cos(\theta) e^{-t/\tau} = T_m + B_2 \cos \theta e^{-\alpha t}$$

confirmer les ordres de Fourier (en utilisant une observation exponentielle de la fluctuation dans le temps).

c- L'ordre de grandeur est d'environ $\tau = \frac{1}{\alpha}$, soit :

$$\tau = \frac{R^2}{D \lambda} = \frac{\mu c R^2}{\lambda}$$

$$\tau = \frac{186 \cdot 10^3 \cdot 460}{8 \cdot 1} \times (1,6 \times 10^{-11})^2 \approx 1,14 \times 10^3 \text{ s}$$

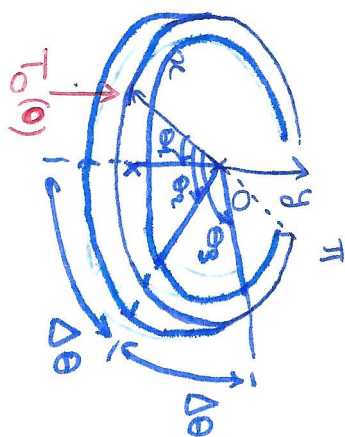
soit $\tau \approx 19$ minutes.

92- a- Solima :

On se place à l'instant initial :

$$T(\theta, 0) = T_0(\theta)$$

$$\Leftrightarrow T(\theta, 0) = T_m + \sum_{n=1}^{+\infty} B_n \cos(n\theta)$$



• Il est désormais nécessaire de prendre en compte la plus conductivité, de l'air :

$$-\frac{\lambda}{r} \frac{dT}{dr} = h \cdot S (T(\theta) - T_a)$$

avec S : surface de l'aiguille en contact avec l'air.

$dS = 4\pi R d\theta$ pour le système considéré d'une tranche d'aiguille de longueur $R d\theta$.

Le bilan énergétique donne ainsi, en régime stationnaire :

$$dQ = 0 = \Phi(\theta) dt + \Phi(\theta + d\theta) dt + h S (T(\theta) - T_a) R d\theta = -\frac{d(\lambda \theta)}{d\theta} R d\theta dt - h S (T(\theta) - T_a) dt$$

$$= + \frac{\lambda R^2 d^2 T(\theta)}{d\theta^2} d\theta dt - h \cdot 4\pi R d\theta (T(\theta) - T_a) dt$$

soit :

$$\frac{d^2 T(\theta)}{d\theta^2} = \frac{h \cdot R^2}{\lambda R} (T(\theta) - T_a)$$

On pose $\frac{h R}{\lambda} = \frac{1}{L_a^2}$:

$$\frac{d^2 T(\theta)}{d\theta^2} = \frac{R^2}{L_a^2} (T(\theta) - T_a)$$

L_a est une longueur caractéristique de diffusion.

La solution est de la forme :

$$T_0(\theta) = T_a + A e^{R/\omega_a \theta} + B e^{-R/\omega_a \theta}$$

Or :

$$\begin{cases} T_0(\theta) = T_0(-\theta) & (1) \\ \frac{dT_0}{d\theta}(\theta = \pi) = 0 & (2) \text{ (annulation du flux en } \theta = \pi) \end{cases}$$

Donc :

$$(2) \Rightarrow A e^{R/\omega_a \pi} = B e^{-R/\omega_a \pi} \quad (2')$$

$$\Leftrightarrow B = A e^{2R/\omega_a \pi} \quad \underline{\text{INVTRIE}}$$

$$\text{Et } (1) \Rightarrow A e^{R/\omega_a \theta} + A e^{2R/\omega_a (\pi - \theta)} = A e^{-R/\omega_a \theta} + A e^{R/\omega_a (\pi + \theta)}$$

et, pour $\theta = \pi$: $T_0(\theta) = T_a = T_a + A e^{R/\omega_a \pi} + B e^{-R/\omega_a \pi}$

Donc :

$$A e^{R/\omega_a \pi} = (T_a - T_a) - B e^{-R/\omega_a \pi} \quad (3)$$

Alors, en combinant (2') et (3) :

$$(T_a - T_a) - B e^{-R/\omega_a \pi} = B e^{-R/\omega_a \pi}$$

$$\Leftrightarrow B = \frac{T_a - T_a}{2} + R/\omega_a \pi$$

$$\text{et } A = \frac{T_a - T_a}{2} e^{-R/\omega_a \pi}$$

Finalement :

$$T_0(\theta) = T_a + \frac{T_a - T_a}{2} e^{R/\omega_a (\pi - \theta)}$$

Or, pour $T_0(\theta) = T_0(\theta = 0) = T_0(0)$, donc :

$$T_0(0) = T_a + \frac{T_a - T_a}{2} e^{R/\omega_a \pi}$$

et $T_0(\theta)$ devient :

$$T_0(\theta) = T_a + \frac{T_0(0) - T_a}{e^{R/\omega_a \pi}} e^{R/\omega_a (\pi - \theta)}$$

Or, on a :

$$C = \frac{T_0(\theta_2) - T_a + T_0(\theta_3) - T_a}{T_0(\theta_2) - T_a}$$

$$= \frac{e^{R/\omega_a (\pi - \theta_2)} + e^{R/\omega_a (\pi - \theta_3)}}{e^{R/\omega_a (\pi - \theta_2)}} e^{R/\omega_a (\pi - \theta_2)}$$

$$= \frac{e^{R/\omega_a (\pi - \theta_2 + \Delta\theta)} + e^{R/\omega_a (\pi - \theta_2 - \Delta\theta)}}{e^{R/\omega_a (\pi - \theta_2)}}$$

Or : $e^{R/\omega_a (\pi - \theta_2 + \Delta\theta)} = e^{R/\omega_a (\pi - \theta_2)} e^{R/\omega_a \Delta\theta}$, donc :

$$C = 2 e^{R/\omega_a \Delta\theta} \Rightarrow C \text{ est proportionnelle à } T_0(0) \text{ et } \theta_2$$

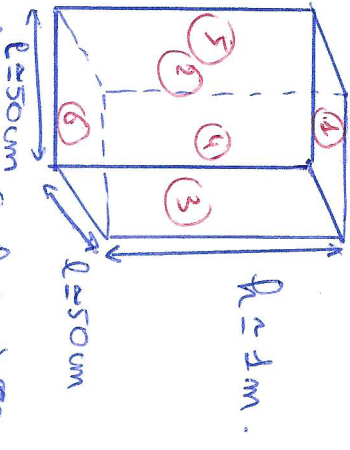
c- A.N. : $C_{\text{alt}} \approx 2,21$ et $C_{\text{exp}} \approx 2,26$

\Rightarrow résultats comparés avec constants à $\approx 2\%$

Résolution du problème : Le manchot empereur

Q1 - On considère l'isotope du système { manchot empereur } en régime stationnaire. La puissance

thermique dissipée par le manchot est donc surfacique égale à $P = 100 \text{ W}$. Pour simplifier, on modélise un manchot comme un parallélépipède rectangle dont les caractéristiques sont données ci-dessous :



Les côtés du corps de l'ère sont sensés à 50 cm à l'isole de la photorégraphie fournie (épaisseur du plumage incluse).

Le manchot possède une température interne $T_i = 39^\circ \text{C}$; la température extérieure (air + eau) est prise égale à $T_e = 26^\circ \text{C}$.

Chaque face du parallélépipède est donc soumise à la même différence de température, la résistance thermique totale du manchot est $R_{th,tot} = \frac{\Delta T}{P} \Rightarrow R_{th,tot} = \frac{59}{100} = 0,59 \text{ K} \cdot \text{W}^{-1}$

On cette résistance est issue de l'association en parallèle des résistances de chacune des faces du manchot :

$$R_{th,tot}^{-1} = \sum_{i=1}^6 R_{th,i}^{-1}$$

avec : $R_{th,1,2} = R_{th,6} = \frac{e}{\lambda S_1}$

avec $e = 2 \text{ cm}$ et $S_1 = e^2 = 0,25 \text{ m}^2$

et $R_{th,3,4} = R_{th,5} = R_{th,6} = \frac{l}{\lambda S_2}$

avec $S_2 = 0,5 \text{ m}^2$.

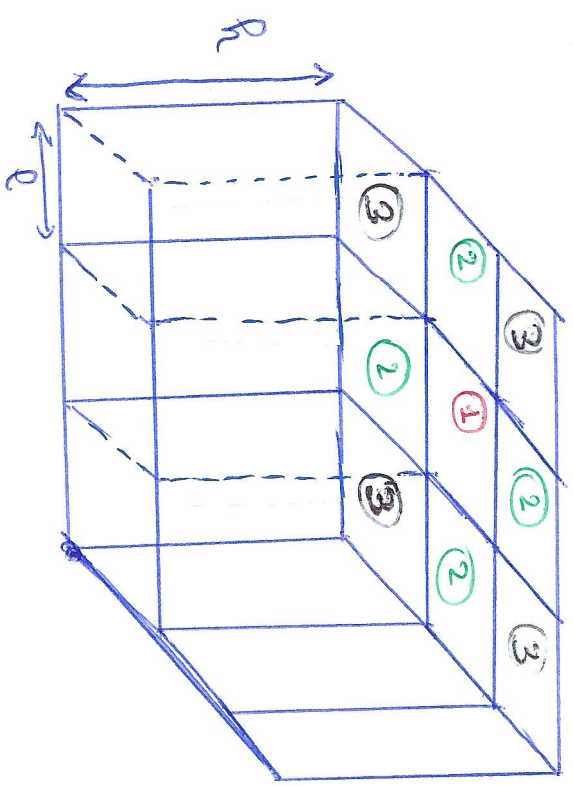
Alors :

$$\frac{1}{R_{th,tot}} = \frac{\lambda}{e} (4S_2 + 2S_1)$$

$$\lambda = \frac{e}{R_{th,tot} (4S_2 + 2S_1)} = \frac{P_{th} e}{\Delta T (4S_2 + 2S_1)}$$

On a : $\lambda \approx 1,36 \times 10^{-2} \text{ W} \cdot \text{K}^{-1} \cdot \text{m}^{-1}$.

Q2 - Soit la configuration suivante :



T_e .

Résumé cette configuration :

- le marché ① perd de sa puissance économique
- les faces opposées et inférieures : $P_1 = 2x \frac{\Delta T}{\lambda S_1} = \frac{2x S_1 \Delta T}{e}$

- les marchés de type ② perdent leur puissance économique

à la fois par ses deux faces et une face exposée à l'air :

$$P_2 = P_1 + \frac{\Delta T}{\lambda S_2} = 2x S_2 \frac{\Delta T}{e} + \frac{2x S_1 \Delta T}{e}$$

- les marchés de type ③ perdent, en plus des faces opposées, de la puissance économique par une deuxième face exposée à l'air :

$$P_3 = P_2 + 2x S_2 \frac{\Delta T}{e} = \frac{\lambda \Delta T}{e} (2S_1 + 2S_2)$$

Chaque côté avec 1 type ① et 4 type ② et ③ :

$$P_{tot} = P_1 + 4P_2 + 4P_3 = 8P_1 + 4x \lambda \frac{\Delta T}{e}$$

$$= \frac{\lambda \Delta T}{e} (8S_1 + 8S_2)$$

donc :

$$P_{tot} = \frac{6\lambda (3S_1 + 2S_2) \Delta T}{e}$$

A.N.:

$$P_{tot} \approx 421,8 \text{ W}$$

act, par marché :

$$P_0 = \frac{P_{tot}}{9} \approx 46,8 \text{ W} = \frac{6\lambda}{9e} (3e^2 + 2e) \cdot \Delta T$$

act avec dérivée moyenne de 53% du métal volume du

marché :

Rq : dans le détail :

- $P_1 \approx 80 \text{ W} \rightarrow$ diminution de 80% du métal volume
- $P_2 \approx 140,2 \text{ W} \rightarrow$ diminution de 60% du métal volume
- $P_3 \approx 60,2 \text{ W} \rightarrow$ 3 ()

Soit N le nombre de marchés (la ds en formation "structure" (= constituant son casé de m marché de côté). Si m est le nombre de marchés par côté du

casé ($N = m^2$):

- de y_a 4 marchés de type 3;
- de y_a $4(m-2)$ marchés de type 2;
- de y_a $N - 4(m-1)$ marchés de type 1.

Alors :

$$P_{totN} = [m^2 - 4(m-1)] P_1 + 4(m-2) P_2 + 4 P_3$$

et, par marché :

$$P_{0,N} = \frac{P_{totN}}{m^2} = \left[1 - 4 \frac{m-1}{m^2} \right] P_1 + 4 \left[\frac{m-2}{m^2} \right] P_2 + \frac{4}{m^2} P_3$$

On remarque que la puissance dérivée par marché pour

comme $P_1 - \frac{P_m}{m^2}$ avec $A_m = 4(m-2)P_2 - 4P_3$.

Or $\lim_{m \rightarrow \infty} \frac{A_m}{m^2} = 0$: il existe donc une limite de puissance dérivée par marché qui vaut $P_1 \approx 80 \text{ W}$.

Or $m^{-1} \ll m^2$ dès $m \approx 10$ ($\frac{m^{-1}}{m^2} \approx 0,09$); on peut donc

conclure que la taille limite de cette fonction est de 100 marchés par

face

face

face

Résumé